



1001.- Via del F.C. Km. 67.- Arenas arcóscas en sucesiones canalizadas. Superficies canalizadas inclinadas hacia el E. (derecha de la foto). Secuencias positivas y cicatrices muy planas paralelas a la estratificación. (T_{sc}^{Bc})



1002.- Via del F.C. Km. 67.- Arenas arcósicas en sucesión canalizada. La inclinación de los canales es en este caso hacia el W. (izda. de la fotografía). ($T_{s_{CH}}^{Bc}$)

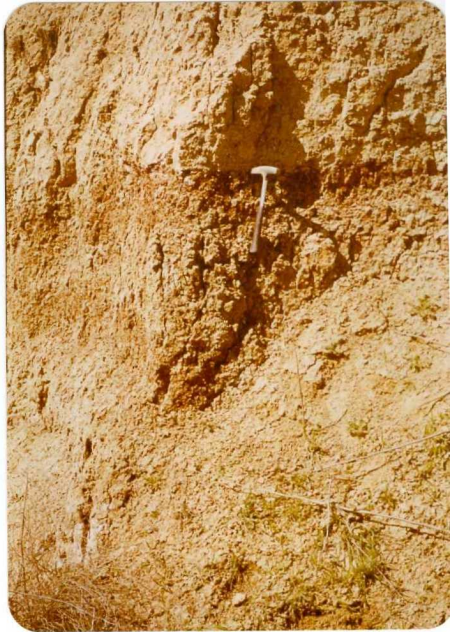


1003.- Via del F.C. Km. 67.- Detalle de cicatriz erosiva ligeramente irregular de los microconglomerados del techo de la serie sobre las arenas arcósicas. (T_{Ch}^{Bc})



1004 .- Via del F.C. Km. 67.- Detalle cicatriz erosiva muy irregular entre arenas microconglomeráticas y arenas arcóscicas fangosas. (T_s^{8c} _{c11})

1005.- Barranco de Sangrameña, Valle del Almar.- Superposición, suavemente erosiva, de las arenas arcóscicas con estructura interna característica de transporte muy rápido en tracción de fondo, sobre los fangos arenosos del techo de una secuencia positiva inferior. Estos fangos derivan del retoque en etapas pluviales de arenas arcóscicas similares a las del techo. (T_{c11}^{8c})





1006.- Las Cerradillas.- Arenas con enriquecimiento en fango, depósitos retocados y lavados en etapas pluviales. Frecuentes cicatrices internas de pequeño tamaño. (T_{Sc14}^{Bc})



007.- Las Cerradillas.- Arenas arcólicas conglomeráticas.
Depósito original con frecuentes cicatrices planares
discontinuas. ($T_{s_{cll}}^{\beta c}$)

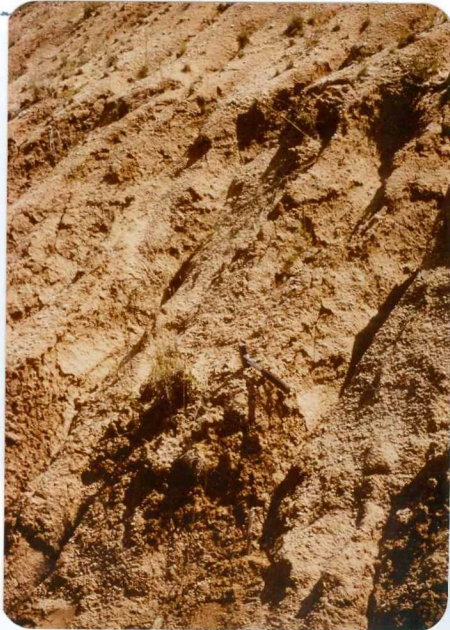


1008.- Valle del Almar.- Panorámica de la Dehesa de Bercimuelle.
Sucesión de arenas y microconglomerados arcóscicos canalizados. (Ts_{c11}^{Bc})



1009.- Carretera Peñaranda-Chaherrero, Km. 163,5.- Serie de arenas arcólicas conglomeráticas canalizadas con cicatrices planas. (T_s^{Bc} _{cll})

4010.- Detalle de cicatrices y coladas planas de la foto anterior. $(T_{sc11}^{\beta c})$





1011.- Carretera Peñaranda-Chaherrero, Km. 149.- Las Merinas.- Base de arenas arcóscas sobre fangos con laminación de ripples "climbing". Arenas de desbordamiento del suave canal con transporte de flash flood. $(T_s^{Bc}_{cII})$ y $(T_s^{Bc}_{cII})$



1012.- Las Merinas.- Detalle de los fangos y arenas intercaladas, con laminación de ripples en las arenas finas fangosas. (T_{s}^{Bc} _{c11})



4013.- Las Merinas.- Detalle de la laminación de la
fotografía anterior. ($T_{s_{c11}}^{bc}$)



1014.- Las Merinas.- Rellenos canalizados en dos pequeñas depresiones. Microtopografía deposicional final de episodios en "flash flood". ($T_{s_{cH}}^{Bc}$)

4015.- W. de Crespos.- Cantera de Ladrillos.- Borde del tunel de fondo.- En la base alternancias de limos arenosos y limos arcillosos con predominio de laminación paralela. En el centro niveles arenosos con predominio de cicatrices de canales y estratificación cruzada. En el techo alternancias de arenas arcóscas y fangos en unidades independientes. ($T_{s_{c11}}^{Bc}$ y $T_{f_{c11}}^{Bc}$).





1016.- W. de Crespos.- Cantera de Ladrillos.- Detalle del tramo de arenas arcólicas con frecuentes lentejones de fangos, estratificación crzada y deformaciones de escape. (T_{cII}^{Bc} y T'_{cII}^{Bc})

1017.- W. de Crespos. Cantera de Ladrillos.- Detalle de Lentejón arcilloso a techo de los limos arenosos. El techo del lentejón arcilloso ligeramente cortado por un nuevo canal plano de limos arenosos. Secuencias positivas. (T_{CII}^{Bc} y T_{CII}^{sBc})





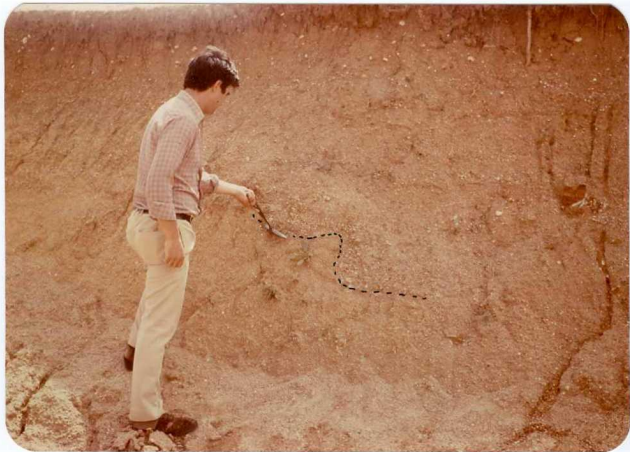
1018 .- W. de Crespos. Cantera de Ladrillos.- Detalles de base
de los canales. ($T_{s_{CII}}^{Bc}$ y $T_{f_{SCII}}^{Bc}$)



1019.- W. de Crespos. Cantera de Ladrillos.- Otro detalle de cicatriz de base de canal con fuerte irregularidad. Abarrancamiento de las arcillas en el emplazamiento del canal. ($T_{s_{c11}}^{bc}$ y $T_{s_{c11}}^{bc}$)

1020.- W. de Crespos. Cantera de Ladrillos.- Restos de huesos en las arcillas y fangos arenosos de la parte alta de secuencias canalizadas. (Ts_{CH}^{Bc} y Tfs_{CH}^{Bc}).





4021.- Cerro Torreón.- Detalle de las bases de canales
con abarrancamiento. ($T_s^{Bc}_{cII}$)



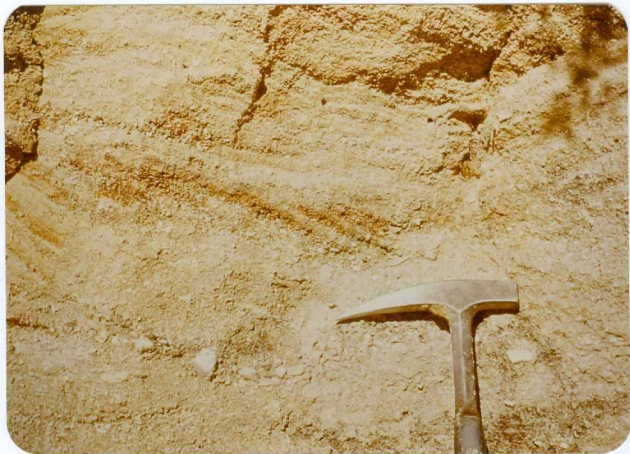
1022.- Cerro Torreón.- Otro detalle del abarrancamiento de la base canalizada. Relleno rápido de las depresiones. ($T_s^{Be}_{cu}$)



1023.- Carretera Peñaranda-Chaherrero, Km. 151.- Sección de depósito canalizado. Base con estratificación cruzada visible en la cueva de la izquierda. (Ts_{c11}^{Bc})



4024.- Carretera Peñaranda-Chaherrero, Km. 151.- Detalle de estructuras de megarripples.



4025.- Carretera Peñaranda-Chaherrero, Km. 151.- Detalle de la laminación interna de los megarripples. Destacan gravas en los surcos marcando el avance del megarripple. (Punta del martillo). (Ts_{CM}^{BC}).



1026.- Carretera Peñaranda-Chaherrero, Km. 151.- Detalle de ordenación de granos en la laminación. Destaca la truncación a techo por un nuevo depósito. (Ts_{CII}^{Bc})



1027.- Carretera Cisla-Cantiveros, Km. 2.- Vista general del Páramo de La Rabiosa. Relieve estructural con calizas en el techo. (T^f_{cII}^{Bc})



1028.- Camino de Cisla a La Rabiosa.- Detalle del Páramo.

(Tf^{Bc}_{CU})



1029.- Camino de Cisla a Torralba, cerca de Torralba.-
Aspecto de la calcreta inferior. Primer nivel cal-
cáreo. La base irregular a nodulosa y el techo con
comienzo de laminación. (T_{c11}^{Bc})



1030.- Camino de Cisla a Torralba, cerca de Torralba.- Detalle del caliche. Se observa el tramo noduloso inferior (izda. de la foto) y el tramo laminado superior (centro-derecha de la foto). $\left(\begin{array}{l} T \\ CII \end{array} \right)^{Bc}$



1031.- Carretera Fontiveros a Cisla. Al N. del Arroyo del Ojuelo.- Canal con estratificación en surco desarrollado erosionando un nivel de calcretas. Conglomerado arenoso con algún canto de calcreta. (Tfs^{8c}_{C11})



1032.- Carretera de Narros al Soto.- Desde Casa del Soto.-
Vista general del Cerro de El Gato, a la izquierda,
y del Prado de La Nava, a la derecha. Arenas arcósi-
cas microconglomeráticas con una intercalación de
fangos (banda más blanca). (T_{scu}^{Be})



1033.- Narros del Castillo desde Los Pedazos.- La serie arenosa miocena está recubierta por depósitos cuaternarios. Corte Río de Narros cerca del Pueblo (Ts^{Bc}_{CU})



1034.- El Majadal desde Los Pedazos.- Continuación hacia el sur de la vista anterior. Corte de El Majadal (T₃^{Bc}_{C44})



1035.- Barrancos de Mariviuda desde Espinarejo.- Zona de los cortes de Mariviuda (Ts^{Bc}_{CU})



1036.- Barranco de Mariviuda y corte del Zapardiel (desde
Espinarejo). A la derecha los fangos arenosos en
la base ($T_{s_{CH}}^{Bc}$ y $T_{fs_{CH}}^{Bc}$).



1037.- Borde W. de El Otero.- Arenas arcólicas cuaternarias sobre arenas arcólicas terciarias. Retoque eólico en el techo del cuaternario $\left(\begin{array}{l} T \\ \text{CH} \end{array} \right) \text{Bc}$



1038.- El Otero, cantera.- Detalle del contacto del Cuaternario de arenas arcólicas sobre las arenas y fangos arenosos del Terciario. Contacto suavemente erosivo. (T/c^{Bc} _{c11})



1039.- San Cristobal de Trabancos.- Terminación hacia el W.
de las facies margosas de calcretas en el centro de
la fotografía {T^{Bc}/_{cll}}



1040.- Panorámica desde el Camino de Paradinas a la Isla:
Cerros de la Isla (T_s^{Bc}
 CH)



1041.- Panorámica desde el Camino de Paradinas a la Isla:
Cerros de San Román (Ts_{c11}^{Bc}).



1042.- Panorámica desde el Camino de Paradinas a la Isla:
Cerros la Cruz y Torreón (Ts_{C11}^{Bc}).



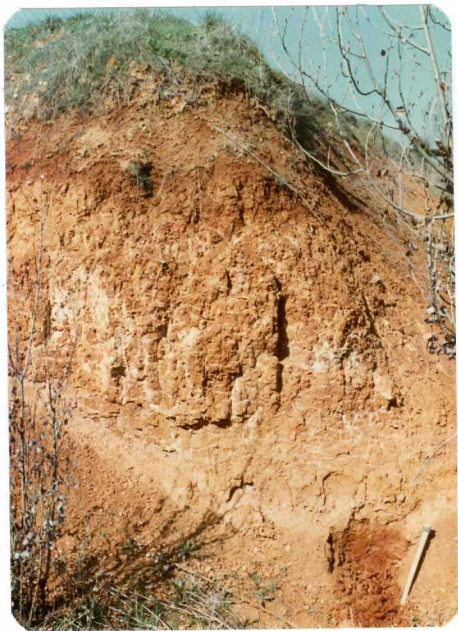
1043.- Palacio de Castronuevo desde el W.
Cerros cubiertos por terrazas cuaternarias (T_{5C41}^{Bc}).



1044. El Molinillo. Restos de la superficie Fraqua. (T).
En primer termino terraza del río Trabancos
del Pleistoceno medio. (Q₁T₅).



1045. Cerro El Mirador (Superficie de Salvadinos).
Material cuarcítico sobre el que se desarrolla
un suelo rojo en parte braunificado (R1S1).



1046.- F.C. Asila-Salamanca Km. 60.
Superposición de suelos rojos pre y post superficie
de Salvadios. El segundo presenta los horizontes
Bt y Cca que afectan a los materiales correlativos
a dicha superficie (Q, S₁).



1047.- Aspecto general de la superficie de Salvadios en el punto anterior. (Q, S, I).



1049. Castronuevo. Terraza de la margen izquierda del río Zapardiel. Pleistoceno medio ($Q_1 T_5$).



1048. Muñossanchos(S). Terraza del río Zapardiel.
Pleistoceno medio (Q₁T₀).



1050.- Arroyo Arroyada. Cra. Fontivero-Cisla.
Suelos con caracter vértico (Mapa de
Formaciones Superficiales ED15)



1051 . Cra Nal 501. Km 163. Superficie Salvadinos
Horizonte argilico del suelo rojo que la afecta.
(Q₁ S₁).



1052. Cra Nal. 501. Dvon. a Fontiveros Km. 3.
Terraza del río Zapardiel. erosionando a
un suelo rojo que afecta al Terciario. (Q₁T₅).



1053. Detalle del anterior.



1054. Las Cerradillas. (S. del Cantariacillo).
Enrejado de carbonatos sobre el Terciario asociado
a la Superficie de Salvadios. (Q.S.).



1055. Las Cerradillas (S. de Cantaracillo)
Coluvión reciente afectado por un suelo
pardo. (Q₂C).